ФИЗИКА

УДК 621 382 2

Член корр споидент АН Армянской ССР Г. М. Авакьяни, С. В. Минасян, О. А. Оганесян

Диоды с отрицательным сопротивлением на основе кремния, компенсированного никелем

(Представлено 31/VII 1969)

Известно, что длинные диоды на основе компенсированного базового материала со структурой вида $p=i-n^+$ имеют участк OC на прямой ветви BAX.

Для создания глубоких примесных уровней в запрещенной зоне Si, мы проводили диффузию никеля, который в кремнии образует два акцепторных уровня $E_v + 0.21$ зв. и $E_c = 0.35$ зв. (1). Максимальная растворимость никеля в кремнии 6×10^{17} атом/см³ наблюдалась при температуре 1260° С. (2).

Диффузия проводилась путем предварительного химического осаждения N_I на пластинке кремния с последующей выдержкой в печи.

В качестве исходного материала использовались кремние вые пластины *и*-типа с удельным сопротивлением 40 и 80 *ом см* и толшиной 500—600 мк.

После диффузии мы получили высокоомный Si и-типа с удельным сопротивлением порядка 2—20 ком см, кроме того исходный материал после диффузии инвентировался в высокоомный р-типа.

С целью устранения нежелательных примесей, учитывая большой коэффициент диффузии никеля, пластины компенсированного креминя сошлифовались с обеих сторон до толщины 400—450 жк.

На компенсированных пластинах измерялась температурная зависимость удельного сопротивления. Из измерения определялась энергия активации акцепторного уровня.

Полученные значения оказались равными $E_c = (0,30 \pm 0,02)$ зв. что.

близко к результату, полученному в работе (1).

Вплавление контактов n^* и p^* ($\Lambda u + Sb$ 0,01% и Al соответственно) проводилось в вакууме при температуре 680 С.

Полученные таким образом p^*-l-n диоды с толщиной базы 150-250 мк имели S-образные BAX в пропускном направлении.

от 45 C до + 80 C.

Наблюдаемые нами ВАХ были следующих типов: 1) с участком плавного "срыва"; 2) с гистерезисной петлей.

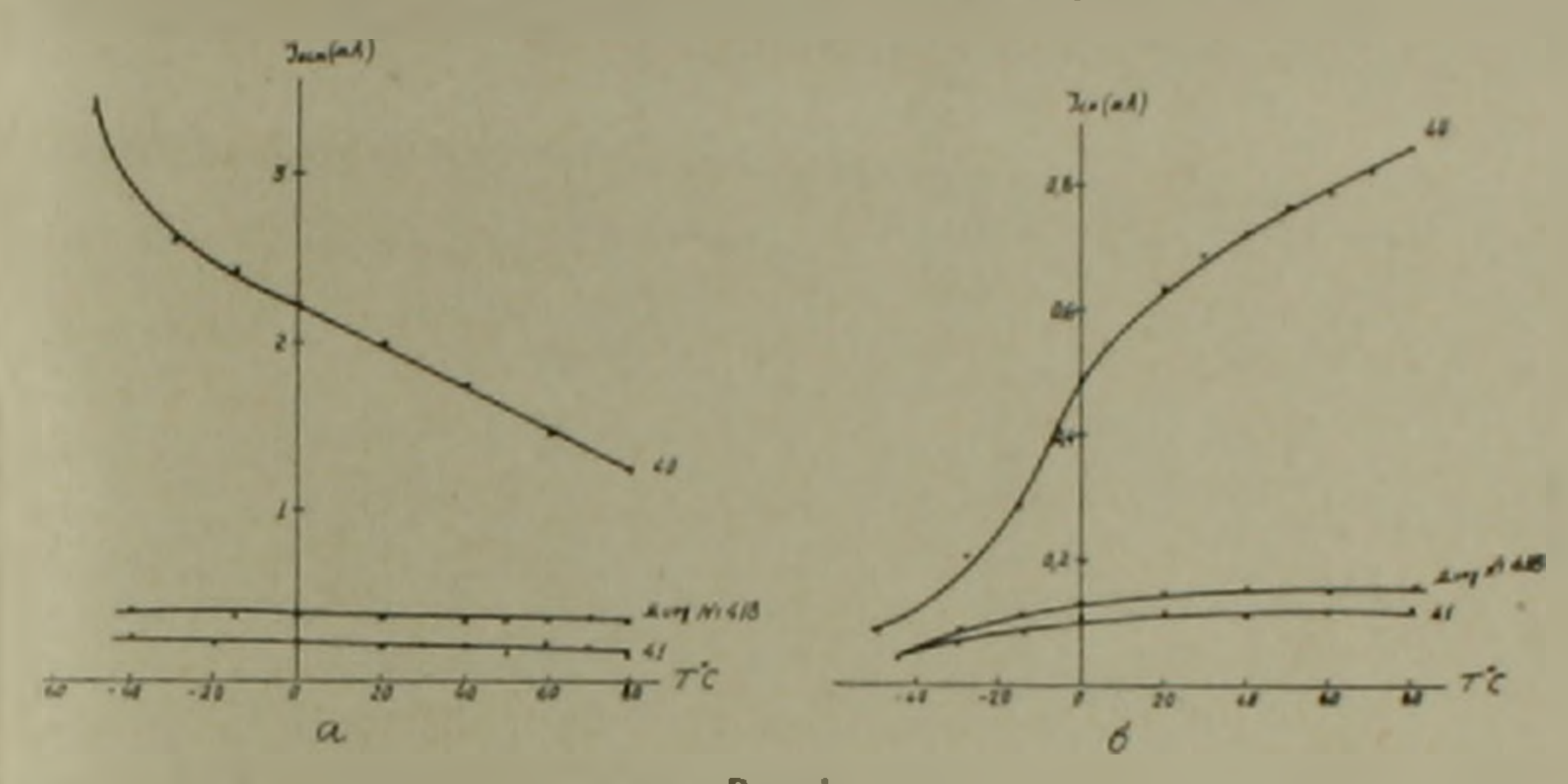


Рис. 1.

а— остаточный ток, как функция температуры; б—зависимость тока срыва

от температуры

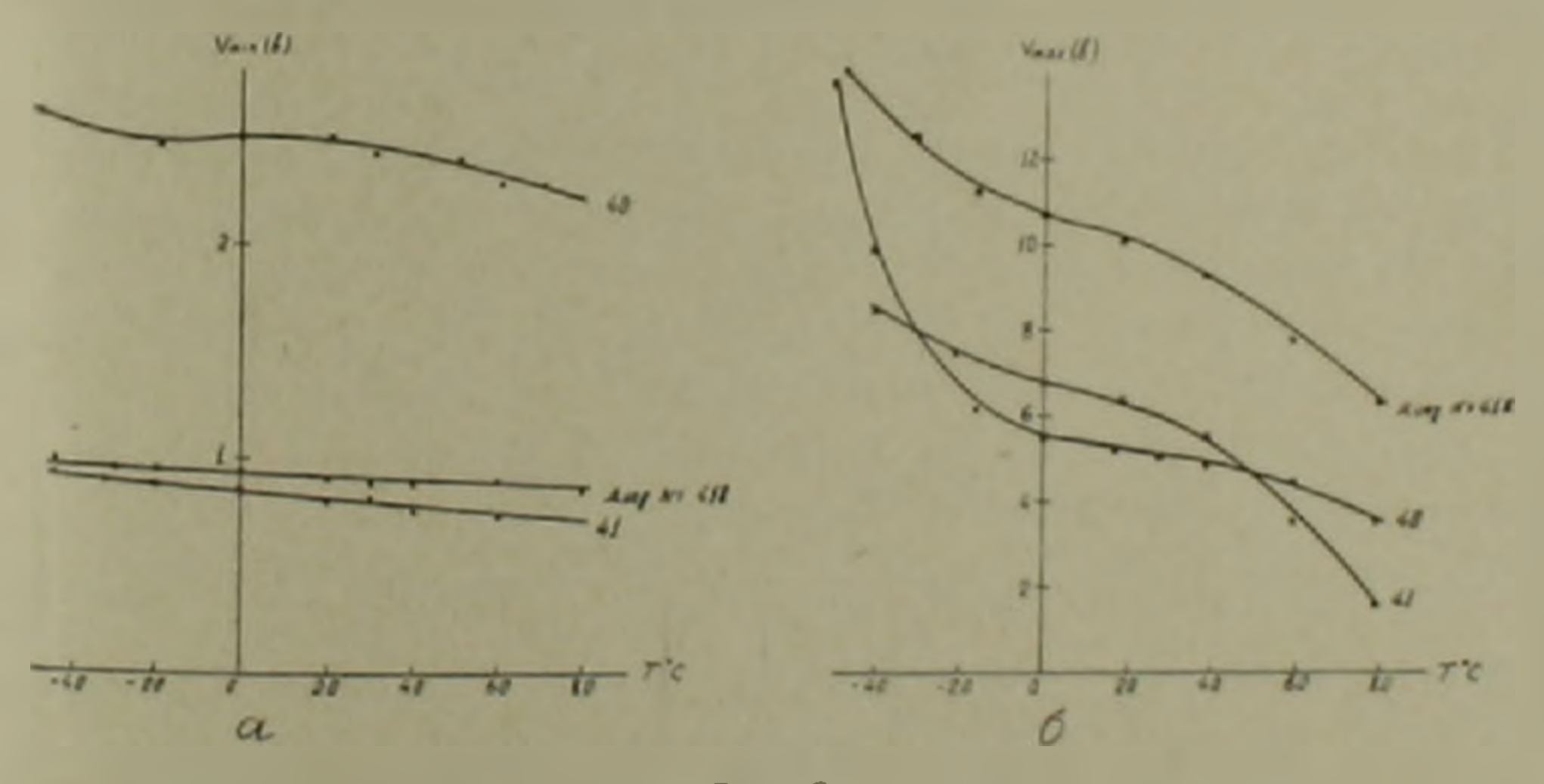


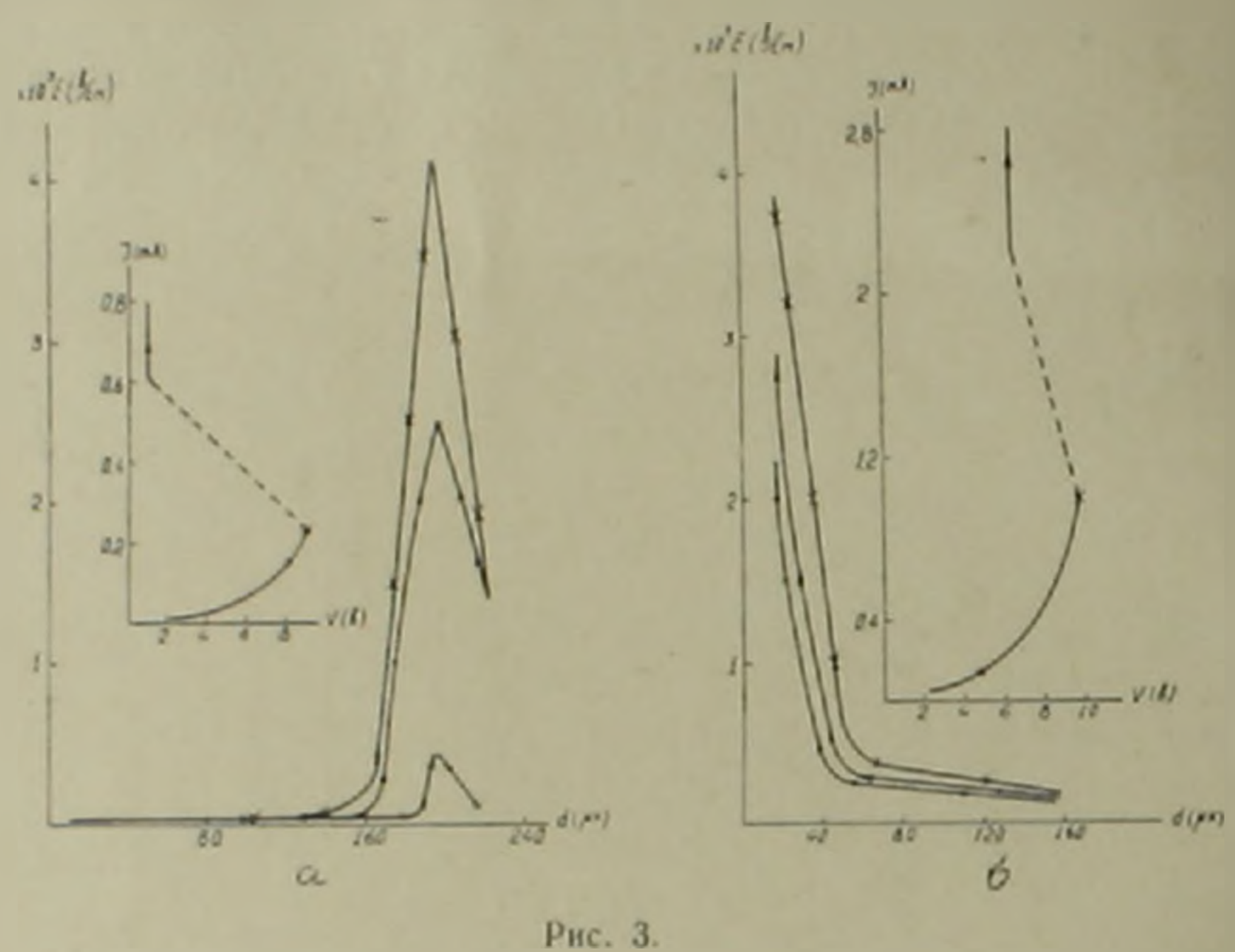
Рис. 2.

-- остаточное напряжение, как функция температуры; δ — зависимость от температуры напряжения срыва

Температурные измерения ВАХ показали, что величина напряжения срыва для разных диодов лежит в интервале 40 - 3a, и с ростом температуры убывает (рис. 2, 6).

Величина отношения $V_{\rm max}/V_{\rm min}$ для разных диодов лежит в интервале 2 — 20 при T = 20°C и с ростом температуры убывает, отношения $I_{\rm cp}/I_{\rm omc} \approx 1.2 \approx 4$.

Зависимость тока через диод до *ОС* от напряжения имеет вид всего наблюдается вертикаль. Обращает на себя внимание малое значение остаточного напряжения (меньше 1 в).



a-распределение электрического поля в базе n-p-p структуры при разных токах и ВАХ, δ распределение электрического поля в базе $n-n-p^+$ структуры при разных токах и ВАХ

На нескольких диодах было снято распределение потенциала по базе. Максимальная напряженность электрического поля по базе днода лежит в интервале $10^3-10^4\,s$ см. причем максимум поля лежит вблизи n^+ контактов для структуры p^--n-n^+ и у контакта p^+ , для структуры p^--n^- (рис. 3. a, b).

Институт радиофизики и электроники Академин наук Армянской ССР

Հայկական ՍՍՀ ԳԱ թղթակից-անդամ Գ. Մ. ԱՎԱԴՑԱՆՑ, Ո. Վ. ՄԻՆԱՍՅԱՆ, Օ. Ա. ՀՈՎՀԱՆՆԻՍՑԱՆ

Նիկելով կունպենսացված բացասական դիմադրությամբ սիլիցիումային դիոդներ

վոլա-ամպերային բնությոգծի ուսումնասիրությունները։
«Աշխատանցում բերված են նիկելի խառնուրդով սիլիցիումային Տ տիպի դիոդների ստատիկ

է տրված, որ բոլոր դիոդննրում խզման լարումը \ բերմաստիճանից կախված բեկնում է, իսկ որոչ պարամետրեր (J_{cp.} J_{ome.} — հկատվում էր պարամետրերի էական փոփոխություն։

թյունը ընկած է կոնտակտների ժոտ։

ЛИТЕРАТУРА-ЧОЦЦЦЪПЬРЗПЬЪ

Vol. 13. 1. 6, pp. 515 519 (1966). 3 M. Yoshida and K Furusho, J. Appl. Physics (Japan), Vol. 3, No. 9, pp. 521 -529 (1964).